

# I-49 部材の途中にヒンジをもつ曲線材を含むラーメンの解法

九州大学工学部 正員 山崎徳也

(I) 緒言 本研究は材の途中にヒンジをもつ曲線ラーメン部材の端エンドに対するタフミ角式を説き、かかる材を含むラーメンの解法、ならびに通常の曲線材を含むラーメンにおいて材内の1点の連続性が失なわれた場合の応力状態の変化の研究や極限設計の1部として降伏ヒンジの考え方などに応用する基本式をうることを目的としている。中间ヒンジを直線材に取り入れたものでは二見、宇野の両氏さらに剛域を加えた吉村氏の論文など我が国の既往研究として見られ、これがタフミ角式として提げてラーメン解法に応用されており、曲線材を対象としたものは見当らない。

曲線材で実験に用いられる代表的なものとして、著者は円弧およびパラボラ材を取扱うこととし、前者のEIは一定、後者の断面2次モーメントIはわかるセカントルールを特例として含む2次変化を仮定した。(図-1 参照) したがって両者の相違は式中の係数内容のみであり、その理論式の説明過程は全く等しい。いま円弧材について式を説明し、パラボラ材のそれは省略する。

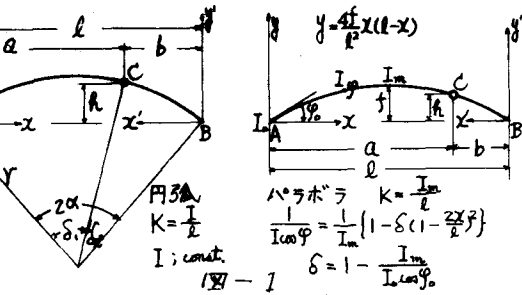
(II) タフミ角式 図-1に示すごとく、A, B両端より途中ヒンジCまでの距離をそれぞれa, bとする直角座標x, yおよびx', y'をとる。図-2のごとく円弧材をヒンジCまで切り離し、せん断力をF、水平力をHとすれば、ヒンジの左側円弧片持バリの任意点の曲げモーメントは次式で与えられる。  
 $M = F(a-x) + H(h-y)$  .....(1)

$$\text{したがって左半分円弧片持バリのC点の垂直TJ: } \Delta_1^c = \int_a^c \frac{M}{EI} \cdot \frac{\partial M}{\partial F} \cdot dx = \frac{y}{EI} \int_a^c \{F(a-x)^2 + H(a-x)(h-y)\} dx$$

$$= \frac{1}{EI} (F \bar{K}_1 + H \bar{K}_2) \quad \text{ただし: } \bar{K}_1 = \int_a^c (a-x)^2 dx, \bar{K}_2 = \int_a^c (a-x)(h-y) dx$$

さらにもヒンジの右側任意点の曲げモーメントは次式で与えられる。

$$M = -F(b-x') + H(h-y') = F(a-x) + H(h-y)$$



$$.....(2)$$

よって右半分円弧片持バリのC点の垂直TJ:  $\Delta_2^c$  は

$$\Delta_2^c = \frac{1}{EI} (F \bar{K}_1' + H \bar{K}_2') \quad \text{ただし: } \bar{K}_1' = \int_{b-d}^b (a-x)^2 dx, \bar{K}_2' = \int_{b-d}^b (a-x)(h-y) dx$$

かたじけC点の水平変位をもとめる。

$$\text{左側より: } \gamma_1^c = \frac{1}{EI} (F \bar{K}_1 + H \bar{K}_2), \text{ 右側より: } \gamma_2^c = \frac{1}{EI} (F \bar{K}_1' + H \bar{K}_2')$$

$$\text{ただし: } \bar{K}_1 = \int_a^c (h-y)^2 dy, \bar{K}_2 = \int_a^c (h-y)^2 dy$$

i) A端のタフミ角 $\theta_A$ による端エンドト A-B部材のA端に $\theta_A$ の回転角をあたると C点は変位し、タフミの連続条件より次式をうる。

$$a \cdot \theta_A = \Delta_1^c + \Delta_2^c = \frac{1}{EI} \{F(\bar{K}_1 + \bar{K}_2) + H(\bar{K}_2 + \bar{K}_2')\} = \frac{1}{EI} (F \bar{K}_1 + H \bar{K}_2)$$

$$b \cdot \theta_A = \gamma_1^c + \gamma_2^c = \frac{1}{EI} \{F(\bar{K}_1 + \bar{K}_2') + H(\bar{K}_2 + \bar{K}_2')\} = \frac{1}{EI} (F \bar{K}_2 + H \bar{K}_2)$$

上式を連立にとく式(i) および式(ii) は符号を変えて代入し

$$M_{AB}^{\theta_A} = ZEK \theta_A A (a^2 \bar{K}_2 - 2ah \bar{K}_2 + h^2 \bar{K}_1) = ZEK C_1 \theta_A \quad M_{BA}^{\theta_A} = ZEK \theta_A A (ab \bar{K}_2 + (a-b)h \bar{K}_2 - h^2 \bar{K}_1) = ZEK C_2 \theta_A \quad .....(3)$$

$$\text{ただし: } A = \frac{1}{2} \frac{1}{K_1 \bar{K}_2 - \bar{K}_2^2}, \bar{K}_1 = \bar{K}_1 + \bar{K}_1' = r^3 \{d + 2d \sin^2(\delta_1 - d) - \frac{1}{2} \sin 2d\}, \bar{K}_2 = \bar{K}_2 + \bar{K}_2' = 2r^3 \sin(\delta_1 - d) \{d \cos(\delta_1 - d) - \sin d\}$$

$$\bar{K}_3 = \bar{K}_3 + \bar{K}_3' = r^3 \{d + 2d \cos^2(\delta_1 - d) - 4 \cos(\delta_1 - d) \sin d + \frac{1}{2} \sin 2d\}$$

ii) 同様にB端のタフミ角 $\theta_B$ 、部材回転角Rおよび弦長変化dによる端エンドトはそれぞれTJの(4)(5)(6)式とし、

$$M_{AB}^{\theta_B} = ZEK \theta_B A \{ab \bar{K}_3 + (a-b)h \bar{K}_2 - h^2 \bar{K}_1\} = ZEK C_2 \theta_B \quad M_{BA}^{\theta_B} = ZEK \theta_B A \{b^2 \bar{K}_3 + 2bh \bar{K}_2 + h^2 \bar{K}_1\} = ZEK C_3 \theta_B \quad .....(4)$$

$$M_{AB}^R = -ZEKR \cdot A \{ a(at+b)K_3 - h(at+b)K_2 \} = -ZEK(c_1+c_2)R, \quad M_{BA}^R = -ZEKR \cdot A \{ b(at+b)K_3 + h(at+b)K_2 \} = -ZEK(c_2+c_1)R \quad \dots (5)$$

$$M_{AB}^{\theta} = ZEK \cdot d \cdot A (aK_2 - hK_1) = ZEK \cdot c_1 \cdot d \cdot l, \quad M_{BA}^{\theta} = ZEK \cdot d \cdot A (bK_2 + hK_1) = ZEK \cdot c_2 \cdot d \cdot l \quad \dots \dots \dots (6)$$

iii) いたゞて  $C_{AB}, C_{BA}$  をそれぞれ荷重項とすれば、それが 97 の角式は  $C_1, C_2, C_3, C_4, C_5$  の順序で並んで  $R$  の順序とくらべて  $3$  である。

$$M_{AB} = ZEK \{ C_1 \theta_A + C_2 \theta_B - (C_1 + C_2)R + C_4 \cdot d \} + C_{AB}, \quad M_{BA} = ZEK \{ C_2 \theta_A + C_3 \theta_B - (C_2 + C_3)R + C_5 \cdot d \} + C_{BA} \quad \dots \dots \dots (7)$$

iv) 荷重項  $C_{AB}, C_{BA}$  は途中ヒンジをもつ両端固定円弧バリーの端モーメントであり、集中荷重  $P$

が「任意点に働く場合を 1 例」として示されている。(図-3 参照)

ヒンジより左側につけた曲げモーメントは次のようになる。

$$0 \leq x \leq \xi; M_1 = F(a-x) + H(h-y) + M_1^0, \quad \xi \leq x \leq a; M_2 = F(a-x) + H(h-y)$$

$\xi$  以上の左側では  $M = F(a-x) + H(h-y) + M_2^0$

i. f. i)  $M^0, M_2^0$  は荷重による左および右半分円弧片持バリーの任意点モーメント、(b) 例 3/3 式、

外側圧縮応力を生ずる方向を正とする。本例 1/2 は  $M_1^0 = -P(\xi-x)$ ,  $M_2^0 = 0$

C 集合重直、水平変位の和をそれぞれ 0 として  $F, H$  は 0。

$$F = \frac{K_3 K_4 - K_2 K_5}{K_1 K_3 - K_2^2}, \quad H = \frac{K_1 K_5 - K_2 K_4}{K_1 K_3 - K_2^2}$$

$$\text{ゆえに } C_{AB} = Fa + Hh + M_{AB}^0 = \frac{2}{\ell} A \{ (K_3 K_4 - K_2 K_5) a + (K_1 K_5 - K_2 K_4) h \} - P\xi$$

$$C_{BA} = F \cdot b - Hh + M_{BA}^0 = \frac{2}{\ell} A \{ (K_3 K_4 - K_2 K_5) b - (K_1 K_5 - K_2 K_4) h \}$$

$$\therefore \text{c) } K_4 = P \int_a^{\xi} (\xi-x)(a-x) dx = P \tau^3 \left\{ \frac{1}{2} \beta - \beta \sin(\beta-\alpha) \sin(\xi-\alpha) - \frac{1}{2} \sin \beta \cos(\beta-2\alpha) - 4 \cos \frac{1}{2}(\xi+\beta-2\alpha) \sin \frac{1}{2} \beta \sin \frac{1}{2}(\beta-2\alpha) \right\}$$

$$K_5 = P \int_a^{\xi} (\xi-x)(h-y) dx = P \tau^3 \left\{ \beta \cos(\xi-\alpha) \sin(\alpha-\beta) - 2 \cos(\xi-\alpha) \sin \frac{1}{2} \beta \sin \frac{1}{2}(\beta-2\alpha) + 2 \sin(\alpha-\beta) \sin \frac{1}{2} \beta \cos \frac{1}{2}(\beta-2\alpha) + \frac{1}{2} \sin \beta \sin(\beta-2\alpha) \right\}$$

任意中の垂直、水平分布荷重、任意点に E-f-t の働く場合などの荷重項も全く同様に扱うことができる。

v) 直線式の諸導 円弧式の極限として直線式の式が導かれる。すなはち  $S \rightarrow l, d \rightarrow 0$  とすると  $K_i \rightarrow \frac{1}{3}(a^2 + b^2)$ ,

$K_2 \rightarrow 0$  さらに  $h \rightarrow 0$  を考慮すれば、(7) 式の諸係数は次のようになる。

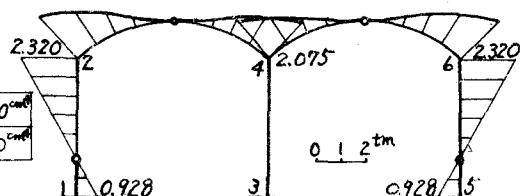
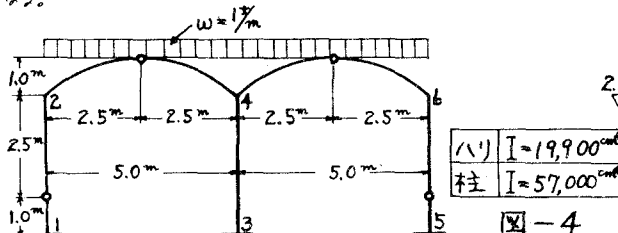
$$\lim C_1 = \frac{3ab^2l}{2(a^2+b^2)}, \quad \lim C_2 = \frac{3abb}{2(a^2+b^2)}, \quad \lim C_3 = \frac{3b^2l}{2(a^2+b^2)}, \quad \lim C_4 = 0, \quad \lim C_5 = 0$$

上記係数は二見氏の式と合致し、(7) 式は拡張公式である事が認められる。

(III) 解法 曲線部材をもつラーメンの解法と全く同様に取り扱わなくてよく、節点方程式、層方程式、スパン方程式さらに

足りなければ角方程式を補ひて 77 の角法の簡便万能性はそのまま受け取れる。

いたゞて 77 の角法に源泉モーメント分配法、77 の角分配法の適用も可能であり、使用係数の内容の相違だけとな。



本研究には文部省科学研究所費の補助を受けた。なお、本学附属施設の維持費をも併せ謝する。

文献 1) 二見秀雄；材の途中にビン接着合を有するラーメンの算式とその应用、建築学会論文集、第 17 号、昭和 15 年 4 月

2) 宇野武文；材の途中にビン接着合を有するラーメンの固定モーメントによる解法、建築学会論文集、第 25 号、昭和 17 年 4 月

3) 吉村亮蔵；剛域をもつ弾塑性ラーメンの解法、熊大工学部研究報告、2 卷 1 号、昭和 28 年 3 月